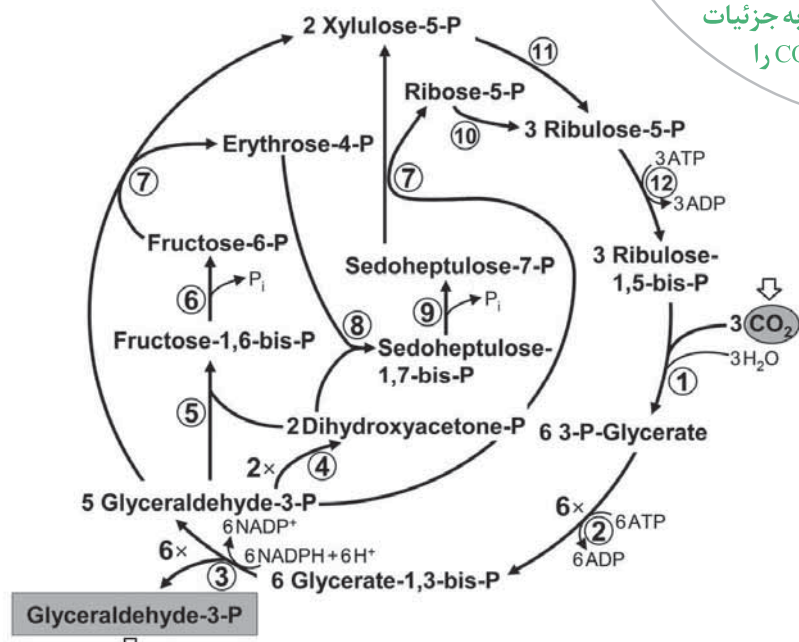


روش‌های ثبت کربن دی‌اکسید در اتوترووف‌ها

کلیدواژه‌ها:
ثبت کربن دی‌اکسید اتوترووف،
چرخه.

مقدمه
ثبت کربن دی‌اکسید و تولید مواد آلی توسط جانداران اتوترووف برای حیات کره زمین مهم و حیاتی است؛ زیرا مواد آلی مورد نیاز جانداران هتروترووف را تأمین می‌کند. تاکنون شش روش مختلف برای ثبت کربن دی‌اکسید در اتوترووف‌ها شناسایی شده است که طی آن‌ها سالانه بالغ بر ۲۰۰ میلیارد تن کربن دی‌اکسید، ثبت می‌شود. ثبت کربن دی‌اکسید واکنشی انرژی خواه است و به منبع انرژی و هم‌چنین ترکیبات احیاکننده برای تأمین الکترون نیاز دارد. الکترون‌های مورد نیاز توسعه مولکول‌هایی همچون فردوسکسین احیا شده، NADPH و NADH و انرژی به طور مستقیم توسط ATP تأمین می‌شود. البته، منبع اولیه انرژی نور گوگرد و متابولیت‌های متعدد در مسیرهای ثبت CO₂ در ادامه سعی می‌کنیم بدون پرداختن به جزئیات این روش‌های طبیعی ثبت CO₂ را معرفی کنیم.

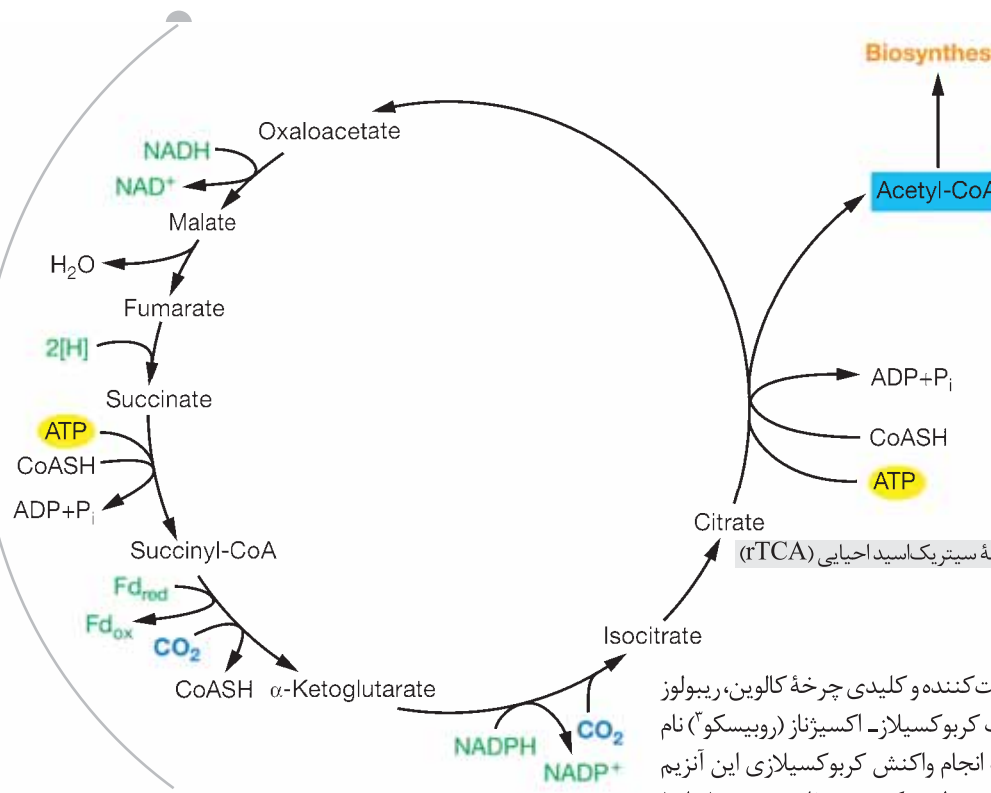


شکل ۱. چرخه کالوین یا چرخه پنتوز فسفات احیایی

چرخه کالوین - بنسون - باشام
یا چرخه پنتوز فسفات احیایی،
مهم‌ترین و پرکاربردترین مسیر
ثبت CO₂ است

نظام جلیلیان
دکترای زیست‌شناسی و
دیپر زیست‌شناسی خرم‌شهر
چرخه کالوین - بنسون - باشام یا چرخه
پنتوز فسفات احیایی

این چرخه مهم‌ترین و پرکاربردترین مسیر ثبت کربن دی‌اکسید است که در یوکاریوت‌های اتوترووف، سیانوباکتری‌ها، بسیاری از پروٹوباكتری‌های هوایی یا هوایی اختیاری متعلق به زیرگروه‌های آلفا، بتا و گاما، برخی مایکروبакتری‌ها و برخی باکتری‌های غیر گوگردی سبز وجود دارد. واکنش‌های آنزیمی چرخه کالوین در یوکاریوت‌های اتوترووف در بستره کلروپلاست و در سیانوباکتری، برخی باکتری‌های شوره‌گذار و تیوباسیل‌ها در ساختارهایی چندوجه‌ی موسوم به کربوکسی زوم² انجام می‌شوند. در چرخه کالوین به ازای ثبت هر سه مولکول CO₂، یک مولکول گلیسرآلدهید-۳-فسفات تولید می‌شود. طی این واکنش‌ها برای ثبت هر مولکول CO₂ سه مولکول ATP و دو مولکول NADPH مصرف می‌شود (شکل ۱).



شکل ۲. چرخه سیتریک اسید احیایی (rTCA)

آنزیم تثبیت کننده و کلیدی چرخه کالوین، ریبولوز بیس فسفات کربوکسیلاز- اکسیژنаз (روبیسکو^۳) نام دارد. سرعت انجام واکنش کربوکسیلازی این آنزیم پایین است به طوری که در هر ثانیه بین ۱ تا ۱۰ مولکول کربن دی اکسید را تثبیت می کند. بنابراین، برای رسیدن به سرعت واکنش بالا، به مقادیر زیادی از این پروتئین نیاز هست. به همین علت، بین ۳۰ تا ۵۰ درصد پروتئین های محلول برگ را تشکیل می دهد و تخمین زده شده است که به ازای هر نفر روی کره زمین، ۵ کیلوگرم از این آنزیم در طبیعت وجود داشته باشد. بیش از ۹۰ درصد کربن معدنی که به زیست توده^۴ تبدیل می شود، توسط آنزیم روبیسکو تثبیت می شود.

تاکنون چهار نوع آنژیم رو بیس-کو شناسایی شده است که از نظر تمایل به اکسیژن، سرعت واکنش کربوکسیلازی و ساختار با هم تفاوت دارند؛ مثلاً نوع ۱ که در گیاهان، جلبک‌ها و سیانوباكتری یافت می‌شود، دارای هشت زیرواحد بزرگ و هشت زیرواحد کوچک (S_4L_4) است؛ در حالی که نوع ۲ فقط از دو زیرواحد بزرگ (R_2L_2) تشکیلاً شده است.

در فتوسنتز کنندگان C₄ و CAM که تثبیت اولیه کربن دی اکسید قبل از چرخه کالوین انجام می گیرد، آنزیم تثبیت کننده اولیه، فسفوئول پیروروات کربوکسیلاز (PEPCase) نام دارد که به جای CO₂ از HCO₃⁻ استفاده می کند و فعالیت اکسیرناژ ندارد.

ج خ

سینٹریک اسید

احیائی درواقع

در جهت مخالف

یا معکوس چرخہ

کریس انجام

جهت معکوس پیش برده می‌شوند. این روش تثبیت CO_2 در باکتری‌های گوگردی سبز، پروتئوباکتری‌ها بهویشه زیرگروه‌های دلتا و اپسیلوون، نیتروسپیرا^۱ و هیدروژنوباکتر ترموفیلوس (نوعی باکتری اکسیدکننده هیدروژن) دیده می‌شود. در چرخه سیتریک اسید احیایی بهاری تثبیت دومولکول CO_2 یک مولکول استیل کوآنزیم A تولید می‌شود. استیل کوآنزیم A حاصل شده برای سنتز مولکول‌های آلی دیگری همچون پیررووات، فسفوانول پیررووات و آگاماستات، مولداست-تفاقدیم، م-گنبد(شکا ۲)

در این روش ثبیت CO_2 , با توجه به تفاوت‌های جزئی که در باکتری‌های مختلف دیده می‌شود (Fd_{red}) و فردوکسین احیا شده (NADPH/NADH) به عنوان تأمین‌کننده الکترون عمل می‌کند و ATP تأمین‌کننده انرژی است. در چرخه سیتریک‌اسید احیایی دو آنزیم ثبیت کننده کربن دی‌اکسید وجود دارد: الفاکتو-گلوقاترات سنتاز وابسته به فردوکسین و این مستیت ات‌دهید، همان‌طوری که:

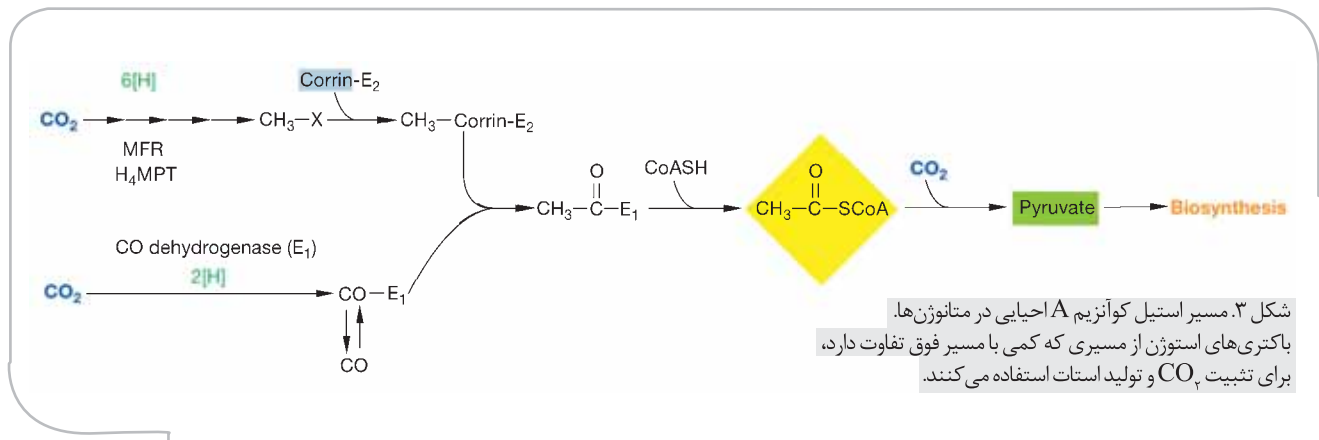
در مجموع طی چرخه سیتریک اسید احیایی برای تشییب هر مولکول CO_2 ، یک مولکول ATP و دو مولکول NADPH مصرف می‌شود.

مسیر وود-لیونگ دال^۷ یا مسیر استیل کوآنزیم A احیایی

در این روش که به صورت خطی و غیر چرخه‌ای است، دو مولکول CO_2 به صورت یک مولکول استیل کوآنزیم A ثبیت می‌شوند. این مسیر در برخی

چرخہ آرنون- بوکانان^۵ یا چرخہ سیتریک اسید احیا یی

چرخه سیتریک اسید احیایی در واقع در جهت مخالف یا معکوس چرخه کربس انجام می‌گیرد. البته با توجه به برگشتناپذیر بودن برخی از واکنش‌های چرخه کربس، این واکنش‌ها با آنزیم‌های دیگری در



شکل ۳. مسیر استیل کوآنزیم A احیایی در متابوژن ها.
باکتری های استوژن از مسیری که کمی با مسیر فوق تفاوت دارد،
برای تشییت CO_2 و تولید استات استفاده می کنند.

چرخه دی کربوکسیلات ۴-

هیدروکسی بوتیرات (چرخه DC/HB)^{۱۵}

این چرخه در دو راسته تمپوروتال^{۱۶} و دسولفوروکوال^{۱۷} از گروه آرکی باکتری ها شناسایی شده است. طی این چرخه یک مولکول استیل کوآنزیم A از تشییت یک مولکول CO_2 و یک مولکول HCO_3^- ساخته می شود. در چرخه DC/HB دو آنزیم تشییت کننده CO_2 وجود دارد: پیرووات سنتاز و فسفوanolipid پیرووات کربوکسیلات (شکل ۴ الف). در این چرخه، ۳ مولکول ATP^{۱۸} پیوند پرانرژی، چون دو مولکول پیروفسفات آزاد می شود و ۴ مولکول NAD(P)H برای تولید استیل کوآنزیم A، مصرف می شود.

چرخه ۳- هیدروکسی بوتیرات ۴-

(HP/HB) (چرخه DC/HB)^{۱۹}

سولفولوبوس^{۲۰} که نوعی آرکی باکتری است از این چرخه برای تشییت CO_2 استفاده می کند. این چرخه شبیه به چرخه دی کربوکسیلات ۴- هیدروکسی بوتیرات است و بخشی از مسیر تشییت در هر دو یکسان است (شکل ۴ الف و ب). تفاوت از نظر نوع آنزیم کربوکسیله کننده است و اینکه در این چرخه از دو مولکول HCO_3^- برای تشییت استفاده می شود. طی چرخه ۳- هیدروکسی پروپیونات ۴- هیدروکسی بوتیرات یک مولکول استیل کوآنزیم A از تشییت دو آنم کربن (به صورت HCO_3^-) ساخته می شود. در این چرخه دو آنزیم تشییت کننده CO_2 وجود دارد: استیل کوآنزیم A کربوکسیلات و پروپیونیل کوآنزیم

آرکی باکتری های متابوژن، باکتری های استوژن و باکتری های دیگری همچون برخی پلانکتومیست ها^۱ و اسپیروکت ها^۲ دیده می شود. تاکنون چندین نوع مسیر استیل کوآنزیم A احیایی شناسایی شده است که از نظر نوع کوآنزیم و حامل های الکترونی با یکدیگر تفاوت دارند. در این مسیرها از آنزیم ها و کوآنزیم های غیرمعمولی همچون کربن مونوکسیدهیدروژناز^۳، تراهیدروپترین^{۱۱} (H_4PT), تتراهیدروفولات^{۱۲} (THF)، متابوفوران^{۱۳} (H_4MPT), تراهیدروپترین^{۱۴} (H_4MPT) و کوآنزیم F_{۴۲۰} استفاده می شود. در این مسیر، نسبت به سایر مسیرهای تشییت CO_2 ، کمترین میزان مصرف انرژی دیده می شود؛ بهطوری که برای تشییت هر دو مولکول CO_2 یک مولکول ATP و چهار مولکول NADPH مصرف می شود (شکل ۳).

در مسیر وود
لیونگ دال یا
مسیر استیل
کوآنزیم A
احیایی دو
مولکول
به صورت یک
مولکول استیل
کوآنزیم A **تشییت**
می شوند

در مسیر استیل کوآنزیم A احیایی ابتدا دو مولکول CO_2 با دو روش مختلف تشییت و سپس برای تشکیل گروه استیل با هم ترکیب می شوند. یک مولکول CO_2 به صورت گروه متیل، احیاشده و به کوآنزیم تراهیدروپترین متصل می گردد مولکول CO_2 دیگر به صورت کربن مونوکسید احیاشده و به نیکل در جایگاه فعل آنزیم کربن مونوکسید دهیدروژناز متصل می شود. این آنزیم به صورت استیل کوآنزیم A سنتاز نیز عمل می کند و پس از گرفتن گروه متیل و ترکیب آن با CO ، استیل کوآنزیم A تولید می کند. در این مسیر، دو آنزیم فومارات دهیدروژناز و کربن مونوکسید دهیدروژناز آنزیم های تشییت کننده CO_2 هستند.

چرخهٔ دی‌کربوکسیلات
۴-هیدروکسی بوتیرات (چرخهٔ DC/HB) در آرکی‌باکتری‌ها شناسایی شده است

این دو چرخه، سه مولکول HCO_3^- به یک مولکول پیرووات تبدیل می‌شود. این روش ثبیت، بسیار بیچیده است و برای تولید یک مولکول پیرووات، ۵ مولکول ATP (پیوند پرانرژی) و ۵ مولکول NADPH مصرف می‌شود.

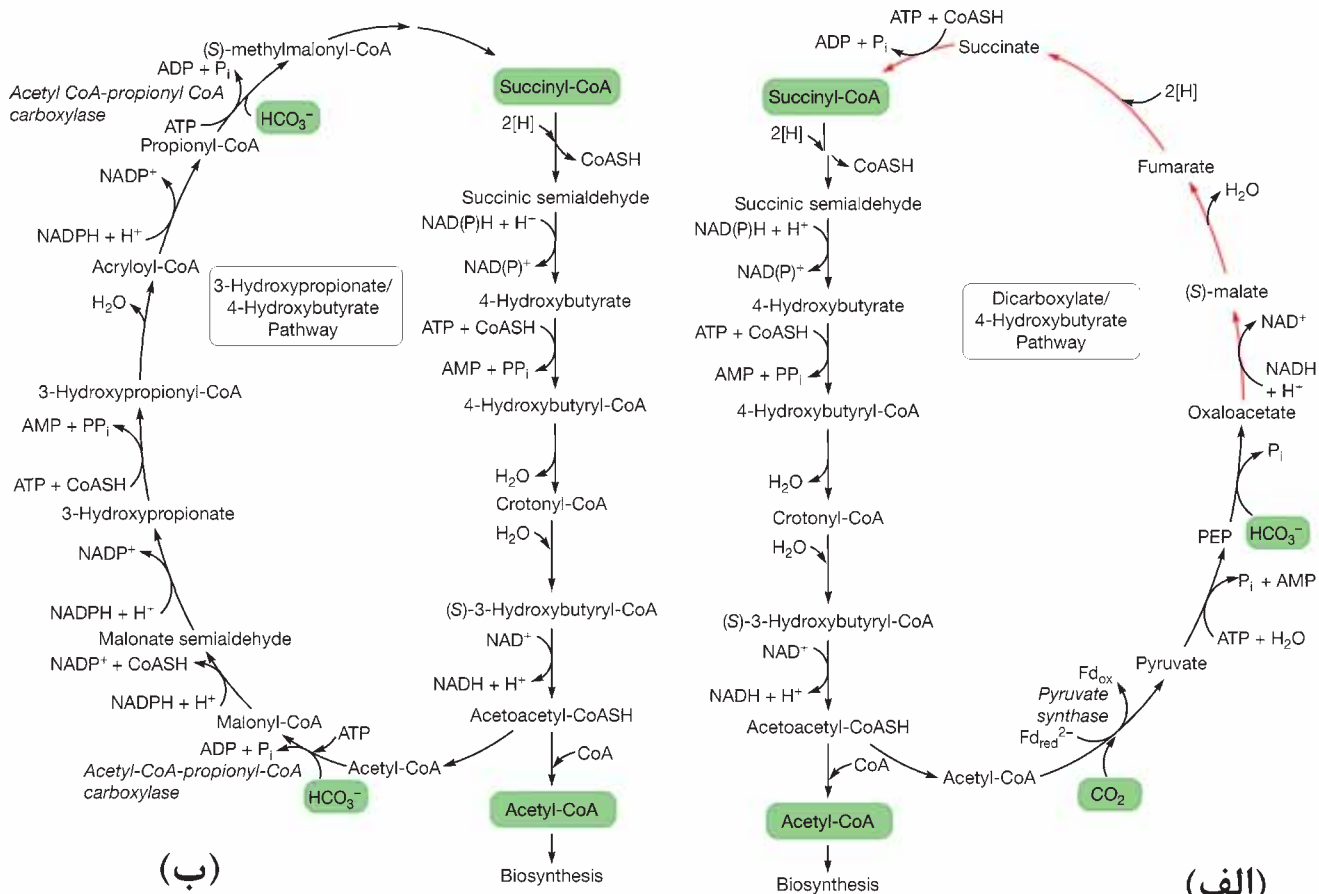
در چرخهٔ هیدروکسی پروپیونات دو آنزیم CO_2 وجود دارد: استیل کوآنزیم کربوکسیلаз که با کربوکسیله کردن استیل کوآنزیم

A کربوکسیلاز. در این چرخه برای تولید هر مولکول استیل کوآنزیم A، ۴ مولکول ATP (پیوند پرانرژی) و ۴ مولکول NADPH مصرف می‌شود.

چرخهٔ فوکس-هولو^{۲۰} یا چرخهٔ ۳-هیدروکسی پروپیونات

این چرخه اولین بار در نوعی باکتری غیر گوگردی سبز (کلروفلکسوس اورانتیاکوس^(۳))

شکل ۴.الف) چرخهٔ دی‌کربوکسیلات ۴-هیدروکسی بوتیرات.
 ب) چرخهٔ ۳-هیدروکسی پروپیونات ۴-هیدروکسی بوتیرات.



A سبب تشکیل مالونیل کوآنزیم A می‌شود و آنزیم پروپیونیل کوآنزیم A کربوکسیلاز که سبب تشکیل متیل مالونیل کوآنزیم A می‌شود (شکل ۵)

مقایسهٔ روش‌های مختلف ثبیت CO_2

در جدول زیر به صورت خلاصه تفاوت‌های مهم شش روش ثبیت CO_2 نشان داده شده است. در روش‌های مختلف ثبیت CO_2 ، تفاوت‌هایی از نظر

شناسایی شد. گلی اوکسالات محصول ابتدایی فرایند ثبیت در این روش است؛ اما چون گلی اوکسالات واسطه کلیدی و مرکزی در مسیرهای متابولیسمی نیست توسط چرخهٔ دیگری به پیرووات تبدیل می‌شود. بنابراین، چرخهٔ ثبیت هیدروکسی پروپیونات عملاً از دو چرخهٔ مرتبط به هم تشکیل شده است؛ چرخهٔ اول سبب تولید گلی اوکسالات و چرخهٔ دوم سبب تشکیل پیرووات می‌شود. طی



**سولفولوبوس
که نوعی
آرکی باکتری
است، از چرخه
۳-هیدروکسی
پروپیونات-۴
هیدروکسی
بوتیرات(چرخه
(HP/HB
استفاده می کند**

گام اپرتوبواکتری همیست، چرخه کالوین و چرخه سیتریکا-اسید احیایی وجود دارد و بسته به میزان انرژی سلول از یکی از این دو روش، برای تثبیت CO₂ استفاده می‌کند؛ در این باکتری در موقعیت‌های پرانرژی چرخه کالوین و در شرایط کم انرژی چرخه مقرن به صرفه سیتریکا-اسید احیایی مورد استفاده قرار می‌گیرد.

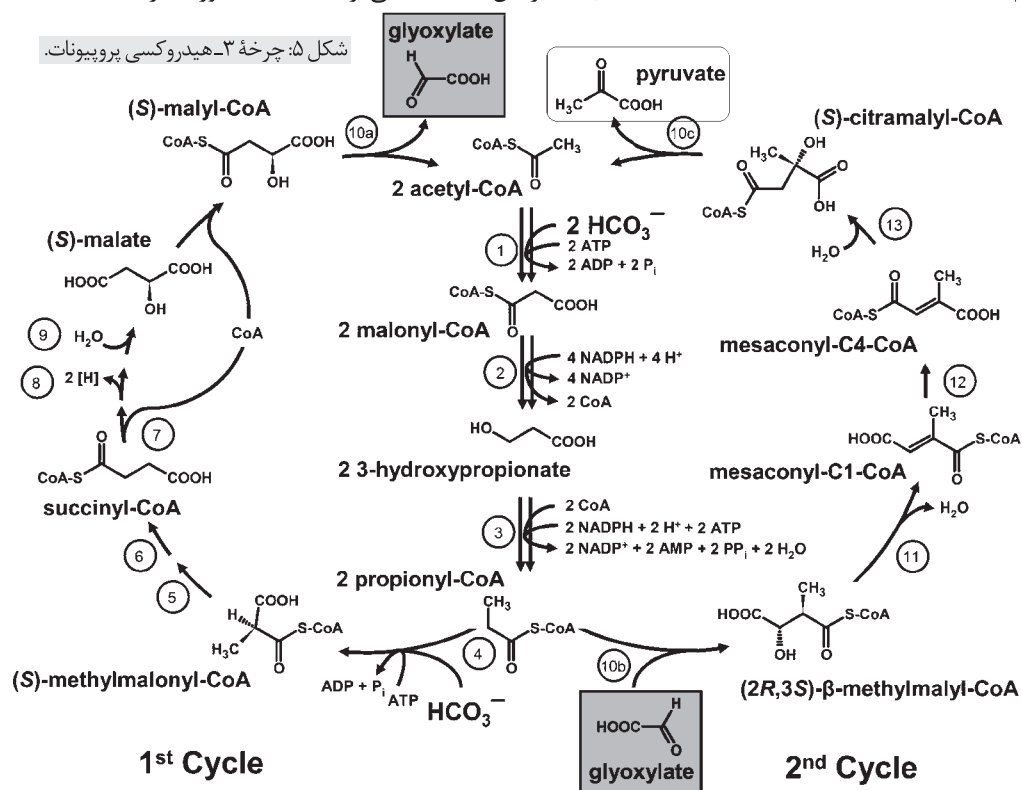
منبع کربن معدنی (CO₂ یا HCO₃⁻)، میزان انرژی مصرفی، نوع آنزیم‌های تثبیت‌کننده CO₂، ترکیب اولیه حاصل از تثبیت و نوع منبع انرژی دیده می‌شود. در این میان، چرخه کالوین مهم‌ترین و البته پرهزینه‌ترین مسیر تثبیت است. در ضمن در سه مسیر تثبیت (مسیر استیل کواتریم A احیایی، چرخه سیتریکا-اسید احیایی و چرخه D کربوکسیلات-4-هیدروکسی بوتیرات) آنزیم‌های حساس به اکسیژن وجود دارد. بنابراین، در شرایط بدون اکسیژن یا کم اکسیژن انجام می‌گیرند و درواقع مسیرهایی بی‌هوایی هستند.

لازم به ذکر است که برخی باکتری‌ها برای تولید مواد آلی می‌توانند از دو روش مختلف تثبیت CO₂ استفاده کنند. به عنوان مثال، در نوعی

**طراحی، مهندسی و بهبود مسیرهای
CO₂ تثبیت**

شناسایی و فهم دقیق مسیرهای طبیعی تثبیت، به محققان کمک می‌کند تا با استفاده از تکنیک‌های مهندسی زنگیک میزان و کارایی تثبیت CO₂ را افزایش دهند. یکی از تحقیقات صورت گرفته

شکل ۵: چرخه ۳-هیدروکسی پروپیونات.



خلاصه‌ای از شش روش طبیعی تثبیت CO_2						
واکنش کلی	مثال	آنژیم‌های تثبیت کننده CO_2	NAD(P) H/ CO_2	ATP/ CO_2	منبع انرژی	نوع مسیر
$3\text{CO}_2 + 6\text{ATP} + 6\text{NADPH} \rightarrow \text{GA}-3\text{P} + 6\text{ADP} + 6\text{NADP}^+ + \text{AP}_i$	گیاهان، جلبک‌ها	روبیسکو	۲	۳	نور	چرخه کالوین
$2\text{CO}_2 + 2\text{ATP} + 2\text{NAD(P)H} + \text{FADH} + \text{Fd}_{\text{red}} + \text{CoASH} \rightarrow \text{AcCoA} + 2\text{ADP} + 2\text{P}_i + 2\text{NAD(P)}^+ + \text{FAD}^+ + \text{Fd}_{\text{ox}}$	کلروبیوم (باکتری گوگردی سبز)	الفاكتوگلوتارات‌سنتر، ایزوسترات‌دیدروزنار	۲	۱	نور گوگرد	چرخه سیتریک‌اسید احیایی
$2\text{CO}_2 + \text{ATP} + 2\text{NAD(P)H} + 2\text{Fd}_{\text{red}} + \text{CoASH} \rightarrow \text{AcCoA} + \text{ADP} + \text{P}_i + 2\text{NADP}^+ + 2\text{Fd}_{\text{ox}}$	متاپوکتریوم (آرکی‌باکتری)	فومارات‌دیدروزنار، CO دیدروزنار	۲	۱/۵	هیدروژن	مسیر استیل کوآنژیم A احیایی
$\text{CO}_2 + \text{HCO}_3^- + 3\text{ATP} + \text{NAD(P)} \rightarrow \text{H} + \text{Fd}_{\text{red}} + 4\text{MV}_{\text{red}} + \text{CoASH} \rightarrow 4\text{PP}_i + \text{NAD(P)}^+ + \text{Fd}_{\text{ox}} + 4\text{MV}_{\text{ox}}$	لگنی‌کوکوس (آرکی‌باکتری)	پیرووات‌سنتر، فسفوanol پیرووات‌کربوکسیلاز	۲	۱/۵	هیدروژن گوگرد	DC/HB چرخه
$2\text{HCO}_3^- + 4\text{ATP} + 4\text{NAD(P)H} + \text{CoASH} \rightarrow \text{AcCoA} + 3\text{ADP} + 3\text{P}_i + \text{AMP} + \text{PP}_i + 4\text{NADP}^+$	متالوسفرا (آرکی‌باکتری)	A استیل کوآنژیم کربوکسیلاز، 4 پروپیونیل کوآنژیم A کربوکسیلاز	۲	۲	هیدروژن گوگرد	HP/HB چرخه
$3\text{HCO}_3^- + 5\text{ATP} + 5\text{NAD(P)H} \rightarrow \text{Pyruvate} + 3\text{ADP} + 2\text{AMP} + 3\text{P}_i + 2\text{PP}_i + 5\text{NAD(P)}^+$	کلروفلکسوس (باکتری غیر‌گوگردی سبز)	A استیل کوآنژیم کربوکسیلاز، 5 پروپیونیل کوآنژیم A کربوکسیلاز	۱/۶۷	۱/۶۷	نور	چرخه هیدروکسی پروپیونات
a) $1\text{Fd}_{\text{red}} = 1\text{NAD(P)H}$; $1\text{FADH} = 1\text{NAD(P)H}$; $2\text{MV}_{\text{re}} = 1\text{NAD(P)H}$						

استفاده کنند و به طور مستقیم الکترون را از کاتد تثبیت کنند و در واقع الکتروسنتز 22 انجام دهنند. دریافت کنند و همان طور که قبلاً نیز اشاره شد، نوعی باکتری استوژن می‌تواند به طور طبیعی الکtron را از کاتد جذب کند و برای تثبیت CO_2 مورد استفاده قرار دهد. مطالعات نیز نشان داده است که نوعی باکتری 22 مهندسی شده نیز برای تثبیت CO_2 و تولید ایزوپوتوانل از الکتریسیته استفاده می‌کند. یکی دیگر از کارهای انجام گرفته، افزایش تراکم CO_2 در محل فعالیت آنژیم رو بیسکو است. می‌دانیم که واکنش‌های تنفس نوری در کلروپلاست، پراکسیزوم و میتوکندری انجام می‌گیرد. حاصل

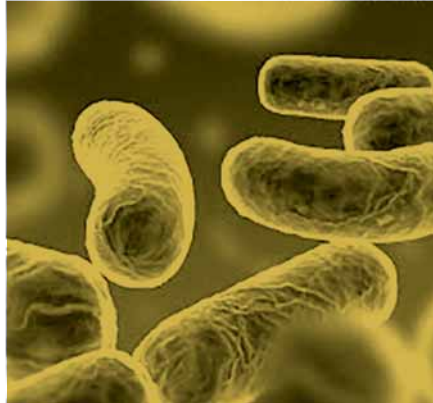
امکان استفاده از انرژی الکتریسیته برای فرایند تثبیت بوده است. همان‌طور که قبلاً نیز اشاره شد، تثبیت CO_2 فرایندی انرژی خواه است و به ترکیبات اجیاکننده به عنوان منبع الکترون نیز احتیاج دارد. در فتوسنتز کنندگان اکسیژن‌زا، الکترون‌های لازم از فتویلیز آب تأمین می‌شود و اکسیژن نیز آزاد می‌شود؛ اما در برخی از روش‌های تثبیت CO_2 آنژیم‌های حساس به اکسیژن وجود دارد. بنابراین، در طبیعت از ترکیبات جایگزینی همچون گاز هیدروژن استفاده می‌شود. استراتژی جدید محققان، شناسایی یا مهندسی اتوتروف‌هایی است که از الکتریسیته

چرخه فوکس-هولو یا چرخه ۳-هیدروکسی‌پروپیونات
اولين بار در نوعی باکتری غير‌گوگردی سبز (کلروفلکسوس)
اورانتیاکوس (شناصایي شد

آنزیم روپیسکو به منظور افزایش فعالیت و تمایل آن به CO_2 و همچنین طراحی مسیرهای جدید تثبیت CO_2 با برنامه‌های رایانه‌ای اشاره کرد. در یک تحقیق جالب، انجام چرخه کالوین و تولید قند توسط این چرخه در باکتری اشريشياكلاي امکان پذیر شده است. بهطور طبیعی در این باکتری در مسیرهای پنتوز فسفات و گلوکونتوژن همه آنزیم‌های لازم برای انجام چرخه کالوین، بهجز دو مورد آن- آنزیم‌های روپیسکو و فسفوربیولوکیناز- یافته می‌شود. محققان ژن این دو آنزیم را به اشريشياكلاي منتقل کردند. باکتری‌های دست‌تولید شده موفق شدند با انجام چرخه کالوین، قند تولید کنند. بته در این باکتری حاصل واکنش‌های متابولیسمی درون خود باکتری است؛ چراکه واکنش‌های نوری فتوسنتری در این باکتری انجام نگرفته است. در تحقیقی دیگر، با انتقال ژن‌های لازم، باکتری‌های طراحی کرده‌اند که می‌توانند مولکول‌های کلروفیل را سنتز کنند. چنین تحقیقاتی امید به طراحی و انجام فتوسنتری در باکتری‌های هتروترفی همچون اشريشياكلاي را بیشتر کرده است.

بخشی از واکنش‌های تنفس نوری در کلروپلاست، تولید گلیکولات است که در ادامه به پراکسی زوم منتقل می‌شود و طی واکنش‌هایی در میتوکندری CO_2 از آن جدا می‌شود. محققان سعی کرده‌اند که محل رهاسازی CO_2 را به کلروپلاست منتقل کنند تا از مصرف ATP و عوامل احیاکننده طی واکنش‌های تنفس نوری جلوگیری و امکان تثبیت سریع CO_2 توسط روپیسکو را فراهم کنند. بدین منظور سه ژن مسیر تجزیه گلیکولات را از باکتری اشريشياكلاي به کلروپلاست آرابیدوپسیس منتقل کرده‌اند، این گیاهان تراویخته سریع‌تر رشد و قندهای محلول بیشتری تولید می‌کنند. در مطالعه دیگری نیز با بیان بیش از حد سه آنزیم در استرومای کلروپلاست آرابیدوپسیس موجب شده‌اند که مولکول‌های گلیکولات طی واکنش‌هایی به دو مولکول CO_2 تبدیل و در ضمن NADH و NADPH نیز تولید شود.

از دیگر کارهای انجام گرفته می‌توان به دست‌تولید



- منابع**
1. Erb TJ, Zarzycki J. A short history of RubisCO: the rise and fall (?) of Nature's predominant CO_2 fixing enzyme. *Curr Opin Biotechnol.* 2018 Feb; 49:100-107
 2. Robert Tabita F. The hydroxypropionate pathway of CO_2 fixation: Fait accompli. *PNAS December 15, 2009 106(50) 21015-21016*
 3. Berg Ivan A. Ecological Aspects of the Distribution of Different Autotrophic CO_2 Fixation Pathways. *Applied and Environmental Microbiology*, Mar. 2011, p. 1925-1936
 4. Ducat Daniel C, Silver Pamela A. Improving Carbon Fixation Pathways. *Curr Opin Chem Biol.* 2012 August; 16(3-4): 337-344.
 5. Willey Joanne M, Sherwood Linda M, Woolverton Christopher J. *Prescott's microbiology*. Tenth edition. Copyright by McGraw-Hill; 2017
 6. Berg IA1, Ramos-Vera WH, Petri A, Huber H, Fuchs G. Study of the distribution of autotrophic CO_2 fixation cycles in Crenarchaeota. *Microbiology*. 2010 Jan; 156(Pt 1):256-69.
 7. Salimjazi F, Parra E, Barstow B. Electrical energy storage with engineered biological systems. *J Biol Eng.* 2019 May 3; 13:38.
 8. Antonovsky, N. et al. Sugar Synthesis from CO_2 in *Escherichia coli*. *Cell.* 2016 Jun 30; 166(1):115-25.
 9. Herz, E. et al. The genetic basis for the adaptation of *E. coli* to sugar synthesis from CO_2 . *Nat Commun.* 2017 Nov 22; 8(1):1705
 10. Chen, E. et al. Complete enzyme set for chlorophyll biosynthesis in *Escherichia coli*. *Science Advances*. 2018;Vol. 4, no. 1, eaal407
 ۱۱. تایز لینکلن، زاگر ادوارد، مولر این ماکس، مورفی آنکوس، **۲۰۱۵**. **فیزیولوژی و نمو گیاهی**، ترجمه محمد کافی و همکاران، مشهد، انتشارات جهاد دانشگاهی مشهد ۱۳۹۴.

بی‌نوشت‌ها

1. Calvin-Benson-Bassham cycle
2. Carboxysomes
3. RuBisCO
4. Biomass
5. Arnon-Buchanan cycle
6. Nitrospirae
7. Wood-Ljungdahl pathway
8. planctomycetes
9. spirochetes
10. CO dehydrogenase
11. tetrahydropterin (H_4TPT)
12. tetrahydrofolate (THF)
13. methanofuran (MFR)
14. tetrahydromethanopterin (H_4MPT)
15. Dicarboxylate/4-Hydroxybutyrate (DC/HB) Cycles
16. Thermoproteales
17. Desulfurococcales
- 18.3-Hydroxypropionate/4-Hydroxybutyrate (HP/HB) Cycles
19. Sulfolobus
20. Fuchs-Holo (bi-) cycle
21. Chloroflexus aurantiacus
22. electrosynthesis
23. Ralstonia eutropha H16